

СВЕРХВЫСОКОВОЛЬТНЫЕ КРЕМНИЕВЫЕ
Р-П-ПЕРЕХОДЫ С НАПРЯЖЕНИЕМ ПРОБОЯ
ВЫШЕ 20 кВ

Е.В. Астров, В.М. Волле, В.Б. Воронков,
И.В. Грехов, В.А. Козлов, А.А. Лебедев

Устойчивой тенденцией в силовом полупроводниковом приборостроении является увеличение мощности единичного полупроводникового прибора. Успехи в области выращивания монокристаллического кремния методом бестигельной зонной плавки (БЗП) позволили создать высококачественный материал с диаметром 100 мм, приборы на его основе имеют средний рабочий ток до 3 кА [1, 2]. Рабочее напряжение серийно выпускаемых мощных тиристоров в настоящее время доведено до 4–5 кВ [2, 3 и др.], а в [4] сообщалось о тиристоре с напряжением переключения $U_{BO} \approx 10$ кВ. Для получения приемлемого значения остаточного напряжения U_{TM} в проводящем состоянии время жизни дырок T_P в п-базе такого тиристора, как показывают оценки, должно быть на уровне ~ 100 мкс, что соответствует времени выключения $t_g \approx 1$ мс, которое слишком велико даже для работы на частоте 50 Гц. Однако, например, для асимметричного тиристора с комбинированным выключением соотношение между U_{TM} , U_{BO} и t_g позволяет иметь достаточно высокое быстродействие при $U_{BO} > 10$ кВ и поэтому исследование предельных возможностей блокирования сверхвысоких напряжений кремниевыми р-п-переходами представляет не только научный, но и практический интерес.

Принципиальной сложностью при изготовлении сверхвысоковольтных (с напряжением пробоя U_{BR} выше 10 кВ) кремниевых р-п-переходов является сохранение в процессе высокотемпературных термообработок (ВТО) исходного высокого значения удельного сопротивления материала. Высокий уровень чистоты технологического процесса, в частности, ВТО в хлоросодержащей атмосфере [5], позволил получить $U_{BR} \approx 12$ кВ, а добавка в кремний связывающих кислород редкоземельных элементов в сочетании с программируемым охлаждением после ВТО позволили получить р-п-переходы с $U_{BR} \approx 15$ кВ [6]. Однако попытки дальнейшего увеличения U_{BR} успеха не имели из-за падения исходных значений удельного сопротивления Si в процессе термообработок.

В дальнейшем было показано [7, 8], что ВТО, проводимые в рамках серийной технологии (формирование р-п-переходов методом одновременной диффузии Al и B в шлифованную поверхность пластин Si) приводят к образованию донорных термодефектов с уровнями $E_1 = E_c - (0.27 \pm 0.01)$ эВ, $E_2 = E_c - (0.54 \pm 0.01)$ эВ, ответственных за снижение удельного сопротивления материала (ρ). Концентрация термодефектов и профиль их распределения в п-базе в большой степени определяются состоянием поверхности полупроводниковой пластины и зависят от режимов ВТО [7]. Проведенные на-

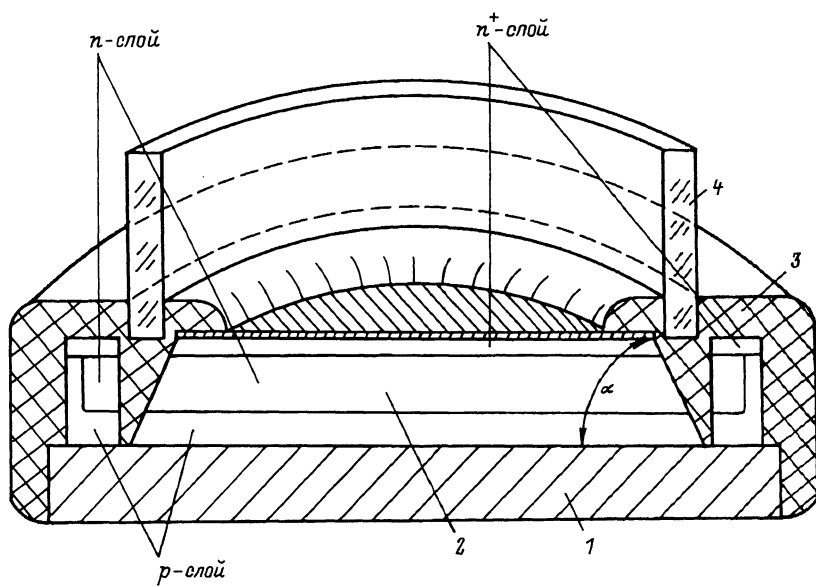


Рис. 1. Схематический разрез p^+ - n - n^+ -структурь. 1 – вольфрамовый термокомпенсатор, 2 – полупроводниковая структура, 3 – кремниорганический компаунд, 4 – защитный кварцевый цилиндр.

ми исследования показали, что концентрации термодефектов могут быть снижены до значений $\sim 10^{10} \text{ см}^{-3}$ при изготовлении p - n -переходов диффузией бора и галлия через полированную поверхность кремниевой пластины. Эта диффузия проводилась в 2 этапа: на первом велась загонка Ga при сравнительно низкой температуре $\sim 1100^\circ\text{C}$ в течение 1–1.5 час в инертной атмосфере, а на втором – одновременная разгонка Ga и диффузия бора из источника, нанесенного на поверхность. После окончания процесса диффузии пластины медленно охлаждались до 800°C , после чего скорость охлаждения увеличивалась. Омический контакт к n -базе p - n -структур создавался диффузией фосфора из фосфоросиликатного стекла при температуре ниже температуры загонки галлия.

Конструкция исследованных сверхвысоковольтных p^+ - n - n^+ -структур показана на рис. 1. Исходным материалом были полированные пластины БЗП-кремния с $\rho = 1.7\text{--}2.0 \text{ к}\Omega\cdot\text{см}$, диаметром 40 мм и толщиной 3.8 мм. P - n -переход изготавливается диффузией бора и галлия на глубину 90 мкм, n^+ -слой – диффузией фосфора на глубину 4 мкм, режимы термообработок соответствовали описанным выше, после термообработок удельное сопротивление сохранилось на исходном уровне. Для защиты p - n -перехода от пробоя по поверхности краевой контур имел вид кольцевой фаски с $\alpha = 70^\circ$ (рис. 1),

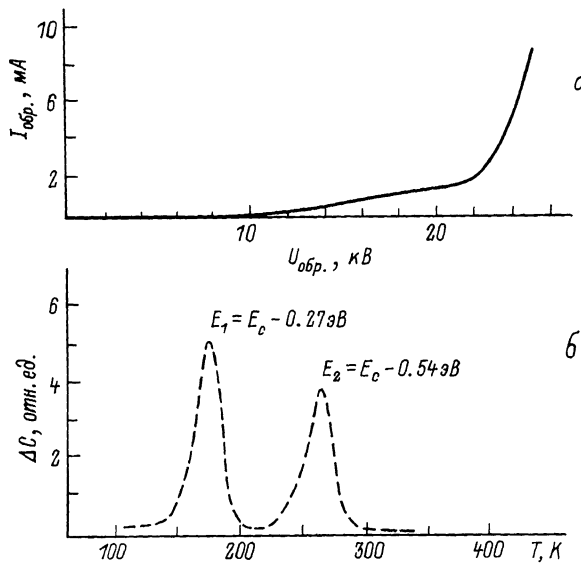


Рис. 2. а - обратная ветвь ВАХ p^+-n-n^+ -структур при $T = 300$ К,
б - $DLTS$ - спектр термодефектов в n -базе p^+-n-n^+ -структур.

пассивация и защита осуществлялась кремнийорганическим компаундом КЛТ-30. При этом оказалось, что при сравнительно тонком слое компаунда (~ 0.5 мм) пробой происходил при напряжении ~ 15 кВ, причем хорошо наблюдаемый канал пробоя проходил сквозь слой компаунда на его поверхность; пробой носил обратимый характер. Увеличение толщины компаунда до ~ 2 мм позволило поднять напряжение пробоя до 20 кВ; пробой происходил по поверхности компаунда между металлическими контактами, а длина канала была более 1 см. Для полного устранения поверхностного пробоя в компаунд был вмонтирован кварцевый (или фторопластовый) цилиндр с толщиной стенки ~ 2 мм и высотой 10 мм над поверхностью компаунда. Такая конструкция позволяла поднимать напряжение до 25 кВ без поверхностного пробоя.

Обратная ВАХ p^+-n-n^+ -структур исследовалась с помощью импульсного харakterиографа, подающего на структуру синусоидальные импульсы длительностью 10^{-2} с с частотой следования ~ 1 Гц. Типичная ВАХ при 300 К приведена на рис. 2,а. Излом, характерный для начала лавинного пробоя, наблюдается при 22 кВ, однако при возрастании $I_{обр.}$ от 22 до 25 кВ среднее динамическое сопротивление уменьшается всего лишь на порядок - от 10^6 до 10^5 Ом. Это свидетельствует либо о сильной неоднородности пробоя в объеме, либо о поверхностном характере пробоя при смыкании границы области объемного заряда с металлургической границей p^+-n -перехода [9]. Среднее по площади значение концентрации

мелкой примеси в п-базе, рассчитанное из вольт-фарадных характеристик $N_M \approx 2.8 \cdot 10^{12} \text{ см}^{-3}$, хорошо согласуется с исходным уровнем легирования кремния фосфором и примерно соответствует наблюдаемому значению напряжения лавинного пробоя.

На рис. 2, б показан *DLTS*-спектр дефектов в п-базе исследованной структуры. Хорошо видно наличие термодефектов с уровнями $E_1 = E_c - 0.27 \text{ эВ}$ и $E_2 = E_c - 0.54 \text{ эВ}$. Эти дефекты являются превалирующими, но концентрация их не превышает 10^{11} см^{-3} .

Таким образом, в работе показана возможность создания на кремнии р-п-переходов с напряжением пробоя 20–25 кВ, что примерно на 10 кВ превышает результаты, известные нам из публикаций к настоящему времени.

Авторы выражают благодарность И.А. Смирновой и И.Г. Чашникову за содействие в проведении диффузионных процессов.

Л и т е р а т у р а

- [1] Traviss B., – EDN, 1984, v. 29, N 18, p. 106–116.
- [2] Ikeda Y., Yatsuo T., – Hitachi Rev., 1987, v. 36, N 1, p. 5–12.
- [3] Kashiwazaki H., Odai S., Konishi N., – Hitachi Rev., 1985, v. 34, N 5, p. 241–246.
- [4] Ogawa T., Kamei T., Morita K., – IEEE Int. Semicond. Power. Convert. Conf. Rec., 1972, Baltimore.
- [5] Соболев Н.А., Челноков В.Е., Шек Е.И. Докл. на VI Межд. конференции по проблемам силовой преобраз. техн. и автоматиз. электропривода, Пояна–Брашов, 1982, с. 51–59.
- [6] Баграев Н.Т., Власенко Л.С., Воронков В.Б. и др. – Письма в ЖТФ, 1984, т. 10, в. 14, с. 880–882.
- [7] Астрова Е.В., Воронков В.Б., Коэлов В.А., Лебедев А.А., Экке В. – Препринт ФТИ им. А.Ф. Иоффе, № 1161, Л., 1987, 26 с.
- [8] Астрова Е.В., Волле В.М., Воронков В.Б., Коэлов В.А., Лебедев А.А. – ФТП, 1986, т. 20, в. 11, с. 2122–2125.
- [9] Briegger K.P., Gerlach W., Pelekka J., – IEEE Trans. on El. Dev., 1984, ED-31, N 6, p. 733–738.

Физико-технический институт
им. А.Ф. Иоффе АН СССР,
Ленинград

Поступило в Редакцию
29 января 1988 г.
В окончательной редакции
15 апреля 1988 г.